

تعیین نیروهای معادل استاتیکی زلزله بر روی شبکه‌های تخت و بررسی کارایی آنها

سروه احمدزاده (دانشجوی کارشناسی ارشد)

ازرگ صادقی* (دانشیار)

دانشکده‌ی مهندسی عمران، دانشگاه شهید مدنی آذربایجان، تبریز

مهمنگی عمران شرف، (جمهوری اسلامی ایران) ۱۳۹۵/۰۲/۰۳، دوری ۳، شماره ۲/۴، ص. ۱۱۰-۱۱۳

سازه‌های مشبک فضایی یکی از انتخاب‌های رایج برای پوشش فضاهای بزرگ است. همچنین به عنوان سرپناه‌های موقت پس از زلزله‌های قوی و مخرب مورد استفاده قرار می‌گیرند و سبک و با درجه‌ی نامعینی بالای هستند. این دو خصیصه باعث شده است که مدت‌ها تصور شود که آن‌ها در برابر زلزله، آسیب‌پذیر نیستند. با این حال، رخدادهای زلزله در کوهه (۱۹۹۵) نشان داده است که سازه‌های مذکور هر چند نسبت به سازه‌های متuarف این‌تر هستند، ولی ناید آن‌ها را مطلاقاً مصون نپنداشت. در پژوهش حاضر، خصوصیات دینامیکی، رفتار خطی، و غیرخطی شبکه‌های تخت دولایه مطالعه قرار گرفته و نشان داده شده است که شبکه‌های ذکر شده در زلزله آسیب‌پذیر هستند، بنابراین باید به دقت طراحی شوند و برای محاسبه و توزیع بار زلزله‌ی استاتیک معادل در جهت قائم بر روی شبکه‌های تخت دولایه فرمول‌هایی ارائه و با روابط موجود در آینه‌نامه‌ی چین، در رابطه با ارزیابی نیروی زلزله‌ی قائم بر روی شبکه‌های دولایه مقایسه‌هایی انجام شده است.

واژگان کلیدی: باز معادل استاتیکی، آنالیز دینامیکی، شبکه‌ی تخت دولایه، رفتار غیرخطی، آینه‌نامه‌ی چین.

۱. مقدمه

سازه‌های فضاکار به‌طور گسترده برای پوشش فضاهای بزرگ مورد استفاده قرار می‌گیرند و در بین خانواده‌ی سازه‌های فضاکار، سازه‌های فضایی مشبک بیشتر مورد استفاده قرار می‌گیرند.

رفتار استاتیکی سازه‌های فضاکار به طور وسیع مورد مطالعه قرار گرفته است، در حالی که رفتار دینامیکی آنها در سال‌های اخیر توجه بیشتری را به خود جلب کرده است. دلیل افزایش توجه به رفتار لرزه‌ی سازه‌های فضاکار این است که برخلاف تصوری مبنی بر ضد زلزله‌ی بدن آن‌ها، مطالعات اخیر نشان داده است که سازه‌های فضاکار نیز در برابر زلزله آسیب‌پذیرند.^[۱-۴] از میان کارهای قابل توجهی که در رابطه با رفتار لرزه‌ی و توزیع نیروی معادل استاتیکی انجام شده است، می‌توان به کارهای پژوهشگران ژاپنی،^[۱-۵] اشاره کرد.

در این نوشتار، به منظور مطالعه‌ی اثر زلزله در شبکه‌های تخت دولایه، رفتار خطی و غیرخطی سازه‌های مذکور مورد مطالعه قرار گرفته و برای ارزیابی باز معادل استاتیکی، روابطی ارائه شده است که قادرند نیروی زلزله را به راحتی و بدون انجام محاسبات زمان بر دینامیکی و یا استفاده از فرمول‌های پیچیده‌ی ریاضی تخمین بزنند.

s.ahmadzadeh@azaruniv.edu
a.sadeghi@azaruniv.edu

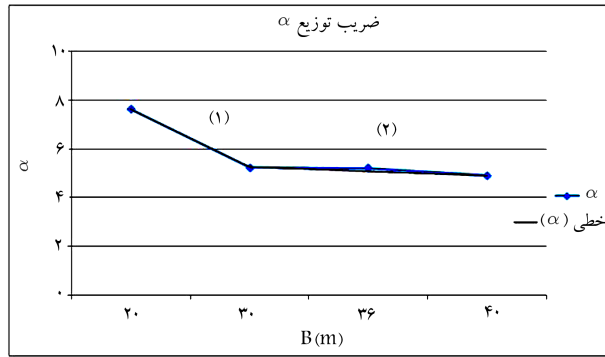
۲. شکل و خصوصیات شبکه‌ها

در این پژوهش از شبکه‌های دولایه با تاشه‌ی مریع روی مریع و ابعاد $30 \times 20 \times 20$ در $46 \times 54 \times 54$ ، $30 \times 36 \times 60$ و $40 \times 50 \times 50$ متر با نسبت طول به عرض ۱/۵ و ارتفاع با نسبت عمق به بعد کوچک 0.5^0 متر استفاده شده است، که در جدول ۱ مشخصات مربوط به مدل‌ها ارائه شده است. مدل هندسی شبکه‌های موردنظر در نرم‌افزار FORMIAN ترسیم شده و برای انجام تحلیل استاتیکی جهت طراحی اولیه‌ی سازه به نرم‌افزار SAP انتقال داده شده است. برای مدل‌سازی شبکه‌ها در نرم‌افزار ANSYS جهت تحلیل‌های دینامیکی، با توجه به خصوصیات هندسی و رفتاری مورد انتظار از اعضاء سازه در این پژوهش از دو المان به نام‌های Link و Mass استفاده شده است.

تکیه‌گاه همه‌ی مدل‌ها از نوع مفصلی ثابت است، که در گره‌های لایه‌ی پایینی در نظر گرفته شده‌اند. پس از انتخاب مدل هندسی، تمامی مدل‌ها به خوبی و در حد بهینه با مقاطع فولادی توخالی، در برابر بارهای استاتیکی شامل بار مرده (بار اسکلت و پوشانه) و بار برف با فرض قرارگرفتن سازه در منطقه‌ی سردسیر کشور ایران و با درنظرگرفتن خاک نوع ۲ طراحی شده‌اند. در ضمن طراحی اعضا براساس روش تنش مجاز با استفاده از آینه‌نامه‌ی ساختمان‌های فولادی ایران صورت گرفته است. در شکل ۱، نمونه‌ی از مدل‌های طراحی شده در نرم‌افزار FORMIAN ارائه شده است.

* نویسنده مسئول

تاریخ: دریافت ۱۳۹۳/۱/۲۰، اصلاحیه ۱۶، ۱۳۹۴/۱/۱۶، پذیرش ۱۳۹۴/۳/۹.



شکل ۲. منحنی و رابطه‌ی محاسبه‌ی ضریب α .

که در آن، α ضریبی ثابت است که بستگی به نوع شبکه دارد و طبق رابطه‌ی ۳ به دست می‌آید، همان دوره‌ی تناوب مؤثرسازه و $SA(T_m)$ شتاب پاسخ طیف طرح ایران برای مود مؤثر ارتعاش شبکه‌ها و g شتاب نقل زمین است:

$$\alpha = \frac{C_V}{\left[\frac{SA(T_m)}{g} \right]} \quad (3)$$

ضریب α برای شبکه‌های تخت دولایه بر حسب بعد کوچکتر شبکه (B) از نمودار دوخطی برآش داده شده بر نمودار α حاصل در شکل ۲ و روابط ۴ و ۵ به دست آمده است.

$$(1) \alpha = -0,2393B + 12,4028 \quad (4)$$

$$(2) \alpha = -0,03119B + 6,1591 \quad (5)$$

پس از به دست آوردن α به راحتی ضریب قائم نیروی زلزله به دست می‌آید و درنهایت برش پایه‌ی سازه حاصل می‌شود.

۵. توزیع نیروی قائم در گره‌ها

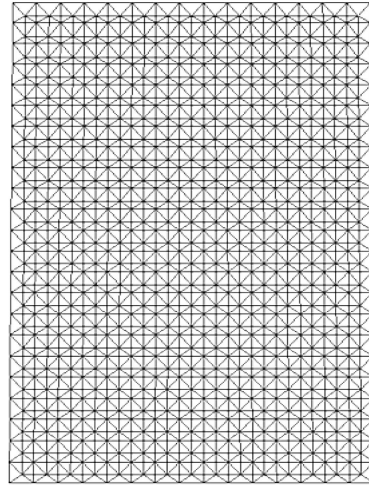
به منظور رسیدن به شکل توزیع نیرو در شبکه‌ها، ۳، خط B، C و D مطابق شکل ۲ انتخاب شده و نیروی اینرسی ایجاد شده در گره‌ها روی این خطوط برای شبکه‌ها محاسبه شده است. برای تعیین نحوه توزیع نیروی قائم گره‌ها در خطوط B، C و D، شتاب پاسخ گره‌ها در زمان بحرانی (زمان مریبوط به برش پایه‌ی پیشینه تحت هر شتاب نگاشت در تحلیل دینامیکی خطی)، از نرم‌افزار ANSYS استخراج و در جرم گره‌ها ضرب می‌شود، هدف از این کار محاسبه‌ی نیروی اینرسی ایجاد شده در گره‌های سازه است. به این ترتیب برای هر مدل در هر خط ذکر شده، ۵ نمودار توزیع نیروی اینرسی، حاصل از تحلیل‌های مریبوط به ۵ شتاب نگاشت را خواهیم داشت.

با تقسیم نیروی اینرسی گره‌های خطوط انتخابی مدل‌ها بر پیشینه‌ی نیروی اینرسی ایجاد شده در هر خط و برای هر شتاب نگاشت، نیروی نرمال شده‌ی هر یک از گره‌ها روی خطوط ذکر شده به دست می‌آید. سپس میانگین تغییرات نیروی قائم نرمال شده برای کلیه شتاب نگاشت‌ها در خطوط B، C و D در هر مدل به دست آمده و در شکل ۴ نمودارهای حاصل برای ۴ مدل ارائه شده است. به جهت دید بهتر نسبت به نحوه تغییرات نیروی قائم در شبکه‌ها، در نمودارهای حاصل، ابعاد خطوط بین ۱ و ۱ نرمال شده است.

در نمودارهای ارائه شده در شکل ۴، برای مثال (B1) بیان کننده‌ی نمودار میانگین نیروی قائم نرمال شده در Line B مدل ۱ برای کلیه شتاب نگاشت‌هاست.

جدول ۱. پارامترهای موردنیاز در طراحی شبکه‌های تخت فضاکار.

مدل	ابعاد	ارتفاع (m)	$m \times m$
Model ۱		۲۰ × ۳۰	
Model ۲		۳۰ × ۴۶	
Model ۳		۳۶ × ۵۴	
Model ۴		۴۰ × ۶۰	



شکل ۱. نمونه‌ی از مدل‌های طراحی شده در نرم‌افزار FORMIAN.

۳. انتخاب شتاب نگاشت

برای حصول یک ارزیابی واقع‌بینانه از رفتار یک سازه‌ی خاص در طول زلزله‌های آینده، شتاب نگاشت‌ها باید به دقت انتخاب شوند. به طور کلی معیار واحدی برای بیان قدرت یک زمین‌لرزه در بروز خسارت وجود ندارد، با این حال شتاب پیشینه (PGA)، رایج‌ترین پارامتر در هنگام بررسی رفتار لرزه‌بی سازه‌هاست. در جدول ۲، مشخصات کلی شتاب نگاشت‌های انتخابی ارائه شده است.

با فرض قرارگیری سازه در کشور ایران، برای حصول نتایج مطلوب جهت تحلیل دینامیکی سازه، شتاب نگاشت‌ها مطابق با طیف طرح ایران برای مناطق با خطر لرزه‌خیزی بسیار زیاد مقیاس شده‌اند. یادآور می‌شود چون طیف طرح ایران برای سازه‌های ساختمانی با میرایی ۵٪ است و با توجه به اینکه در سازه‌های فضاکار، α (ضریب میرایی سازه) برابر ۲٪ در نظر گرفته می‌شود، لذا برای مقیاس شتاب نگاشت‌ها، طیف طرح ۵٪ به ۲٪ تبدیل شده است.

۴. تعیین روابط جهت استخراج برش پایه‌ی قائم سازه

برای تعیین اثر قائم زلزله، نیروی برش پایه ناشی از زلزله (V_0) طبق رابطه‌ی ۱ تعیین شده است:

$$V_b = C_V \times W t \quad (1)$$

که در آن، C_V ضریب نیروی قائم زلزله و $W t$ وزن مؤثر کل شبکه است. ضریب نیروی قائم زلزله از رابطه‌ی ۲ قابل محاسبه است:

$$C_V = \alpha \times \left[\frac{SA(T_m)}{g} \right] \quad (2)$$

جدول ۲. زلزله‌های انتخابی و مشخصات کلی آنها.

شماره	زلزله	مولفه	PGA	PGV	PGD
۱	امپریال ولی*	U	۰,۵۳۷۲	۳۸,۴۱۰۹	۱۹,۷۳۵۲
۲	کوبه** (ژاپن)	U	۰,۴۳۳۳	۳۴,۸۴۷۱	۱۲,۳۹۹۱
۳	نورث ریچ*** (۱۹۹۴)	U	۰,۵۵۲۳	۱۷,۷۳۷۷	۸,۵۵۰۸
۴	طبس** (ایران) (۱۹۷۸)	U	۰,۶۸۸۵	۴۴,۳۵۸۱	۱۷,۱۱۲۳
۵	سن فرناندو***** (۱۹۷۱)	U	۰,۶۹۸۵	۵۶,۴۴۶۲	۱۸,۱۹۳۷

* Imperial Valley

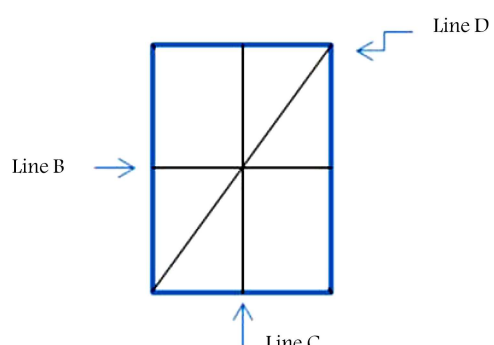
** Kobe (Japan)

*** Northridge

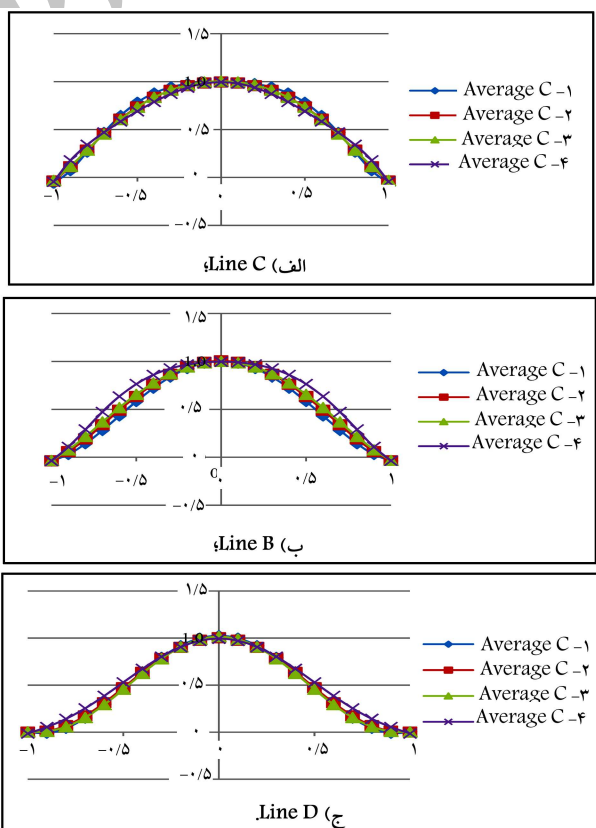
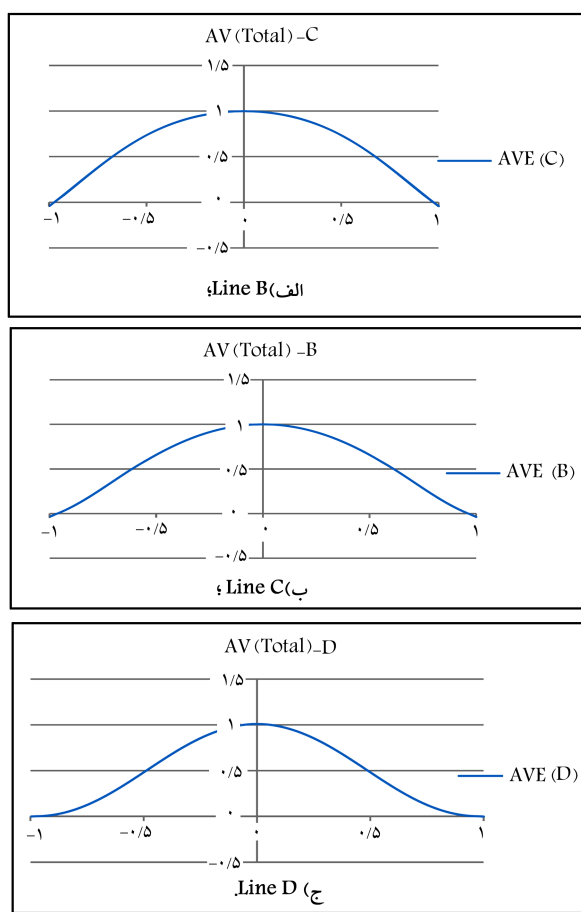
**** Tabas (Iran)

***** San Fernando

برای حصول یک نتیجه‌گیری کلی از نمودارهای میانگین‌گیری شده در خطوط A، C، B و D (شکل ۴)، باید این نمودارها با هم ترکیب شوند و نمودارهای واحد در هر یک از خطوط ذکرشده ارائه شود، که میانگین نحوه تغییرات نیروی قائم نرمال شده در تمامی مدل‌ها و تحت کلیه‌ی شتاب‌نگاشتها باشد. نمودارهای مرتبط در شکل ۵ با عنوان AV(Total) ارائه شده است، که بیان‌گر نحوه‌ی توزیع نیروی قائم نرمال شده در شبکه‌های تخت در خطوط مربوط هستند.



شکل ۳. نحوه تقسیم‌بندی شبکه.



شکل ۵. منحنی میانگین نهایی توزیع نیروی قائم نرمال شده (برای تمامی مدل‌ها).

شکل ۴. میانگین تغییرات نیروی قائم نرمال شده (برای تمامی مدل‌ها).

۶. نمودار الگوی بار قائم معادل زلزله

به دست آمده‌ی پلهی الگوی کلی بار قائم معادل زلزله (شکل ۷) پیداست، ابعاد شبکه به عرض بین ۱ الی ۱- و طول بین ۱/۵ الی ۱- نرمالیزه شده و فقط بیان‌گر نحوه‌ی توزیع بار در شبکه‌های تخت دولایه است، که بار پلهی اول F_1 و مقدار آن بنا به نحوه‌ی توزیع پلهی بار $P \times ۱$ فرض شده و همچنین برای پلهای ۲ تا ۵، نحوه‌ی توزیع بار به شرح روابط ۶ الی ۹ ارائه شده است، که مقدار P در این مرحله مجهول و β_i ضریب الگوی کلی بار قائم زلزله است.

$$F_1 = \beta_1 \times P = ۰,۸ \times P \quad (۶)$$

$$F_2 = \beta_2 \times P = ۰,۵ \times P \quad (۷)$$

$$F_3 = \beta_3 \times P = ۰,۲ \times P \quad (۸)$$

$$F_4 = \beta_4 \times P = ۰ \times P \quad (۹)$$

$$\text{نحوه‌ی توزیع بار در پلهی دوم} \quad (۶)$$

$$\text{نحوه‌ی توزیع بار در پلهی سوم} \quad (۷)$$

$$\text{نحوه‌ی توزیع بار در پلهی چهارم} \quad (۸)$$

$$\text{نحوه‌ی توزیع بار در پلهی پنجم} \quad (۹)$$

برای به دست آوردن نحوه‌ی توزیع نیرو در شبکه‌های تخت دولایه، یک نمودار سه‌بعدی (شکل ۶ ب) بر منحنی‌های میانگین نهایی هرسه خط B, C و D (شکل ۵) بازش داده شده است. همان‌طور که مشاهده می‌شود، نمودار سه‌بعدی حاصل از بازش بر منحنی‌های میانگین نهایی در شکل ۶ ب همانند شکل مود اول سازه است، که در شکل ۶ الف برای نمونه‌ی شکل مود اول مدل ۲ آمده است.

جهت ساده‌سازی و کارایی نمودار سه‌بعدی به دست آمده در شکل ۶ الف، یک نمودار پلهی، که بیان‌گر الگوی کلی بار قائم معادل زلزله است، بر منحنی سه‌بعدی بازش داده شده است، به طوری که حجم زیر دو نمودار برابر باشد. در نهایت، شکل کلی نحوه‌ی توزیع نیروی قائم زلزله در شبکه‌های تخت به دست آمده است (شکل ۷).

با توجه به اینکه فرض اولیه در مدل‌های بررسی شده بر این اساس بوده است که بعد بزرگ‌تر شبکه ۱/۵ برابر بعده کوچک‌تر باشد، همان‌طور که از شکل نمودار

۷. الگوی نسبی بار قائم زلزله

برای به دست آوردن الگوی نسبی بار قائم، به محاسبه‌ی مقدار عددی P و نسبت توزیع آن در هر پله از نمودار پرداخته شده است. با توجه به اینکه مقدار P از رابطه‌ی $۱ = \sum_{i=۱}^5 m_i F_i$ محاسبه می‌شود و در آن m_i تعداد گره‌های موجود در هر پله از نمودار است، بنابراین مقدار عددی P از رابطه‌ی ۱۰ به دست می‌آید:

$$P = \frac{۲/۴۰۳۸}{\gamma n^۳} \quad (۱۰)$$

همان‌طور که مشاهده می‌شود، مقدار P به دست آمده تابعی از نسبت بعد بزرگ‌تر شبکه به بعد کوچک آن (γ) و تعداد تقسیمات (n) در جهت x شبکه‌ی تخت است. برای تعیین الگوی نسبی بار قائم زلزله باید ضرایب β_i (ضرایب الگوی کلی بار قائم) در مقدار P به دست آمده ضرب شود. در روابط ۱۱ الی ۱۵، الگوی نسبی بار پله‌ها آمده است، که در آن‌ها: F'_1 الگوی نسبی و β'_i ضرایب الگوی نسبی بار قائم زلزله هستند.

$$F'_1 = \beta_1 \times P = ۱ \times \frac{۲/۴۰۳۸}{\gamma n^۳} = \frac{۲/۴۰۳۸}{\gamma n^۳} = \frac{\beta'_1}{\gamma n^۳} \quad (۱۱)$$

الگوی نسبی بار در پلهی اول

$$F'_2 = \beta_2 \times P = ۰,۸ \times \frac{۲/۴۰۳۸}{\gamma n^۳} = \frac{۱/۹۲۳۰}{\gamma n^۳} = \frac{\beta'_2}{\gamma n^۳} \quad (۱۲)$$

الگوی نسبی بار در پلهی دوم

$$F'_3 = \beta_3 \times P = ۰,۵ \times \frac{۲/۴۰۳۸}{\gamma n^۳} = \frac{۱/۲۰۱۹}{\gamma n^۳} = \frac{\beta'_3}{\gamma n^۳} \quad (۱۳)$$

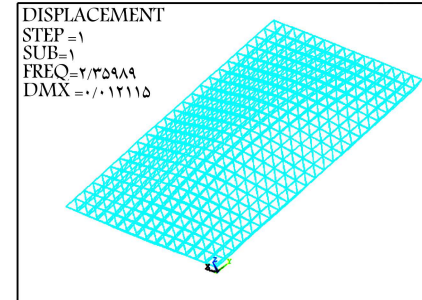
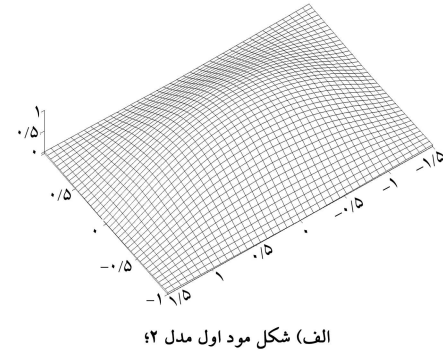
الگوی نسبی بار در پلهی سوم

$$F'_4 = \beta_4 \times P = ۰,۲ \times \frac{۲/۴۰۳۸}{\gamma n^۳} = \frac{۰,۴۸۰۷}{\gamma n^۳} = \frac{\beta'_4}{\gamma n^۳} \quad (۱۴)$$

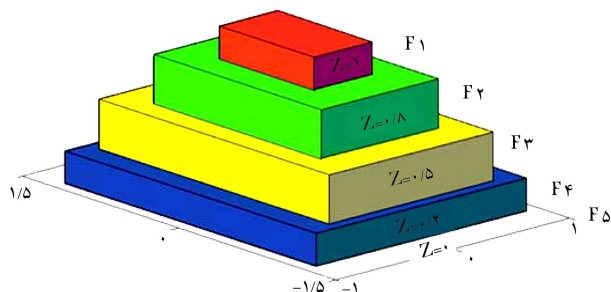
الگوی نسبی بار در پلهی چهارم

$$F'_5 = ۰ \quad (۱۵)$$

الگوی نسبی بار در پلهی پنجم



شکل ۶. مقایسه‌ی مود اول شبکه با الگوی بار قائم.



شکل ۷. الگوی کلی بار معادل زلزله در شبکه‌های تخت.

همچنین مختصات مربوط به پله‌های نمودار الگوی بار در روابط ۱۶ الی ۲۰ آمده است، که به علت تقارن شبکه‌ها، فقط مختصات قسمت مثبت پله‌ها ذکر شده است.

مختصات پله‌ی اول $z = 1$

$$0 \leq x \leq \frac{0.25l_x}{2}, \quad 0 \leq y \leq \frac{0.3l_y}{2} \quad (16)$$

که در اینجا به اختصار روش اول آین نامه مورد بحث قرار گرفته است، که در آن اثر زلزله به صورت یک نیروی خارجی استاتیکی به گره‌های سازه اعمال می‌شود. این نیرو، ضریبی از وزن گرهی مذکور است و از رابطه‌ی $z = 2$ به دست می‌آید:

$$F_{Evki} = \pm \psi_v G_i \quad (23)$$

که در آن، F_{Evki} نیروی وارد به گره‌ی i ، ψ ضریب اثر زلزله، و G_i نیز وزن موثر گردی موردنظر (بار مرده به علاوه‌ی نصف بار زنده) است. ضرایب اثر زلزله را می‌توان برای نواحی مختلف با لرزه‌خیزی زیاد (شدت ۸) و بسیار زیاد (شدت ۹) از جدول ۳ به دست آورد.

نیروی به دست آمده (مطابق رابطه‌ی ۲۳)، مستقل از موقعیت گره است و در نتیجه بار ناشی از زلزله به صورت یک بارگستردۀ یکنواخت به دست می‌آید. این نیرو به صورت قائم به شبکه اعمال می‌شود و می‌تواند در دو سوی رو به بالا و رو به پایین، هر کدام که تأثیر بیشتری داشت، در نظر گرفته شود.

همچنین در آین نامه مذکور از سختی گره‌ها صرف نظر و مفصلی فرض شده‌اند. برای سازه‌های با شکل پیچیده توصیه شده است تا از روش‌های مودال و یا تاریخچه‌ی زمانی استفاده شود. علاوه بر این، در آین نامه‌ی چین توصیه شده است که سازه‌های فضاکار در ترکیب با بارهای دیگر طوری طراحی شوند تا در محدوده‌ی کشسان باقی بمانند. برای اثر افقی زلزله نیز با توجه به منطقه‌ی استقرار سازه‌ی فضاکار و نیز دهانه‌ی آن، این توصیه‌ها به عمل آمده است:^[۸]

الف) در منطقه‌ی ۷ (خطر زلزله‌ی کم)، منظورکردن نیروی افقی زلزله لازم نیست.

ب) در منطقه‌ی ۸ (خطر زلزله‌ی متوسط یا زیاد)، برای سازه‌های فضاکار با دهانه‌ی کوچک و یا متوسط که در طول محیط تکیه‌گاه دارند، می‌توان از اثر افقی زلزله صرف نظر کرد.

ج) در منطقه‌ی ۹ (خطر زلزله‌ی بسیار زیاد) همیشه و برای همه‌ی سازه‌های فضاکار باید اثر افقی زلزله را منظور کرد.

جهت این کار توصیه شده است که از آین نامه‌های مربوط به سازه‌ی متعارف استفاده شود. همچنین تقسیم‌بندی سازه‌ها با توجه به دهانه‌ی آنها به این صورت آمده است:

• سازه‌های کوچک، که بیشینه‌ی دهانه‌ی آن‌ها مساوی 3° متر است.

• سازه‌های متوسط، که دهانه‌ی آن‌ها بیشتر از 3° متر، ولی بیشینه‌ی آن 6° متر است.

• سازه‌های بزرگ، که دهانه‌ی بیش از 6° متر دارند.

باید توجه داشت که طبق مقررات آین نامه‌ی مذکور، بیشینه‌ی دهانه‌ی مورد استفاده در سقف‌ها به 12° متر و در کف‌ها به 4° متر محدود شده است.^[۸]

جدول ۳. ضرایب زلزله (۲۴) در مناطق مختلف چین با توجه به نوع خاک.

شدت زلزله	نوع خاک منطقه			
	III	IV	II	I
0.10	0.08	—	8	
0.20	0.15	0.15	9	

$$0 \leq x \leq \frac{0.25l_x}{2}, \quad 0 \leq y \leq \frac{0.3l_y}{2} \quad (17)$$

مختصات پله‌ی دوم $z = 0.8$

$$\frac{0.25l_x}{2} < x \leq \frac{0.5l_x}{2}, \quad \frac{0.533l_y}{2} < y \leq \frac{0.733l_y}{2} \quad (18)$$

مختصات پله‌ی سوم $z = 0.5$

$$\frac{0.5l_x}{2} < x \leq \frac{0.7l_x}{2}, \quad \frac{0.533l_y}{2} < y \leq \frac{0.733l_y}{2} \quad (19)$$

مختصات پله‌ی چهارم $z = 0.2$

$$\frac{0.7l_x}{2} < x \leq \frac{0.9l_x}{2}, \quad \frac{0.733l_y}{2} < y \leq \frac{0.933l_y}{2} \quad (20)$$

مختصات پله‌ی پنجم $z = 0$

$$\frac{0.9l_x}{2} < x \leq \frac{1l_x}{2}, \quad \frac{0.933l_y}{2} < y \leq \frac{1l_y}{2} \quad (21)$$

۸. محاسبه‌ی نیروهای ناشی از زلزله‌ی قائم در هر گره

برای تعیین بار قائم معادل استاتیکی وارد بر هر گره از شبکه، نسبت بار گردی طبق رابطه‌ی ۲۱ محاسبه و هر گره در پرش پایه ضرب شده است، که در آن: F_i' الگوی نسبی و F_i'' بار معادل استاتیکی وارد بر هر گره است.

$$F_i'' = F_i' \times V \quad (21)$$

همان‌طور که می‌دانیم، مجموع نیروهای وارد بر یک سازه باید برابر برش پایه باشد، بنابراین طبق رابطه‌ی ۲۲، مجموع نیروهای گردی کل گره‌های شبکه باید برابر برش پایه باشد.

$$\sum m_i \times F_i'' = \sum m_i \times F_i' \times V = \sum m_i \times \frac{\beta'_i}{\gamma n^i} \times V = V \quad (22)$$

۹. ارزیابی نیروی زلزله‌ی قائم بر روی شبکه‌های دولایه

در آین نامه‌ی چین

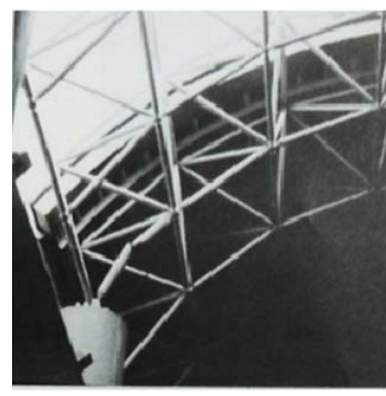
در آین نامه‌ی سازه‌های فضاکار چین روش‌هایی برای ارزیابی نیروی استاتیکی معادل زلزله در شبکه‌های تخت ارائه شده است، که اولین ضوابط طراحی و ساخت سازه‌های فضاکار (JGJ 7-۸۰) در سال ۱۹۸۱ در چین انتشار یافته است. پس از آن در سال ۱۹۹۲ ویرایش دیگر آن (JGJ 7-۹۱) و سپس ویرایش جدید آن در سال ۲۰۱۲ منتشر شده است.

آن نامه‌ی مذکور شامل مقرراتی برای بارگذاری و طرح اتصالات و اعضاء شبکه‌های تخت دولایه به طور گستردۀ و دیگر سازه‌ها به صورت مختصر هستند و در آن، دو روش برای ارزیابی نیروی زلزله‌ی قائم بر روی شبکه‌های دولایه تخت به صورت استاتیکی معادل ارائه شده است:^[۱۰]

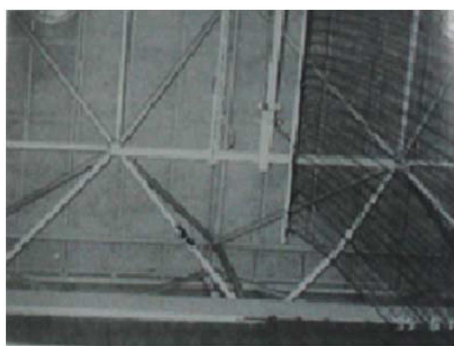
۱. روش ضریب نیروهای خارجی.



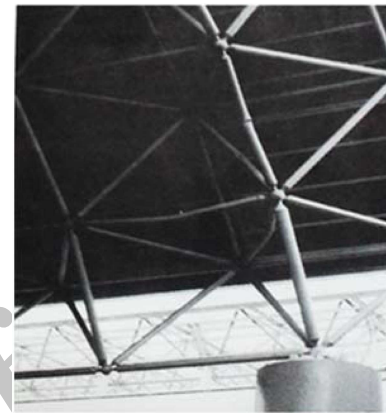
شکل ۱۰. عضو خرپای شکسته شده نزدیک تکیه گاه.



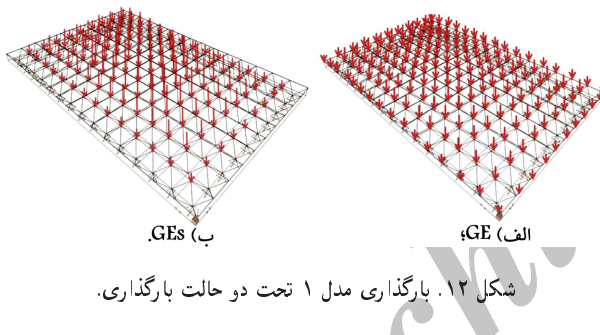
شکل ۸. شکست عضو متصل به تکیه گاه.



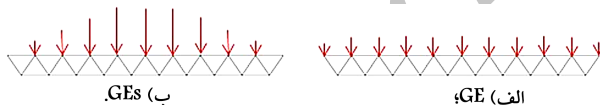
شکل ۱۱. کمانش اعضاء سازه فضاسکار.



شکل ۹. کمانش اعضاء نزدیک تکیه گاه.



شکل ۱۲. بارگذاری مدل ۱ تحت دو حالت بارگذاری.



شکل ۱۳. بارگذاری مدل ۱ تحت دو حالت بارگذاری (دید از چشممهی وسط).

ب) شبکه هایی که در طراحی اعضاء آنها علاوه بر بار مرده و زنده، بار قائم زلزله ای آین نامه ای چین، طبق رابطه ۲۳ در نظر گرفته شده و با GE نشان داده شده اند، مثل: $GE^{20} \times 3^0$.

ج) شبکه هایی که در طراحی اعضاء آنها علاوه بر بار مرده و زنده، زلزله ای معادل استاتیکی چین، طبق رابطه ۲۱ در نظر گرفته شده و با GEs نشان داده شده اند، مثل: $GEs^{20} \times 3^0$.

در شکل های ۱۲ و ۱۳، برای مثال مقایسه بی از بارگذاری مدل یک تحت دو حالت بارگذاری GE و GEs ارائه شده است. مشاهده می شود که بارهای گرهی در مدل GE به صورت یکنواخت و در مدل GEs بر حسب توزیع پله بی متغیر است.

۱۰. نمونه هایی از خرابی سازه های فضاسکار در اثر زلزله

در سال ۱۹۹۷، به بررسی آسیب های سازه های خاص ناشی از زلزله کوبه (۱۹۹۵) در ژاپن پرداخته شده و آسیب های سازه های شبکه بی تک لایه و دولایه مورد بررسی قرار گرفته، و خرابی سازه های ذکر شده در اثر زلزله گزارش شده است.^[۱۰] این خرابی ها شامل گسیختگی در عضو پال پایین (شکل ۸) و کمانش در اعضاء قطری و پال پایین در نزدیکی تکیه گاه (شکل ۹) هستند.

همچنین در سال ۱۹۹۵، گزارشی از آسیب سازه های سقف با دهانه های بزرگ در اثر زلزله کوبه ژاپن (۱۹۹۵) ارائه شده است، که در شکل های ۱۰ و ۱۱ به ترتیب گسیختگی عضو در نزدیکی تکیه گاه و کمانش اعضاء قطری در نزدیکی تکیه گاه ارائه شده است.^[۱۱]

۱۱. بررسی کارایی روابط استاتیک معادل ارائه شده و مقایسه با روابط بار قائم آین نامه چین

برای بررسی کارایی روابط بار معادل استاتیکی زلزله ای ارائه شده و همچنین مقایسه روابط ذکر شده با روابط آین نامه چین در رابطه با ارزیابی بار زلزله بر روی شبکه های نخت دولایه، سه مدل: (مدل ۱: 30×20)، (مدل ۲: 30×46) و (مدل ۳: 36×36) انتخاب و تحت ۳ حالت مختلف بارگذاری شده اند:

(الف) شبکه هایی که در طراحی اعضاء آنها فقط بار مرده و زنده در نظر گرفته شده و با GD نشان داده شده اند، مثل: $GD^{20} \times 3^0$.

بارگذاری GEs نسبت به بارگذاری GD و بارگذاری GE نسبت به بارگذاری GD، به ترتیب برابر ۲۴٪ و ۱۶٪ و برای مدل 36×54 به ترتیب برابر ۱۲٪ و ۵٪ بوده است.

همچنین تنش محوری عضو بحرانی مدل 30×20 در زلزله نورث ریج در بارگذاری GEs نسبت به بارگذاری GD ۲۹٪ و در بارگذاری GE نسبت به بارگذاری GD، ۱۵٪ کاهش یافته و این کاهش تنش محوری در مدل 30×46 در بارگذاری GEs نسبت به بارگذاری GD و بارگذاری GE نسبت به بارگذاری GD به ترتیب برابر ۲۶٪ و ۱۲٪ و برای مدل 54×36 به ترتیب برابر ۲۳٪ و ۱۵٪ بوده است.

زمان اولین کمانش مدل 30×30 در بارگذاری GE نسبت به GD افزایش یافته و بیان‌گر این مطلب است که در بارگذاری GE دیرتر به کمانش می‌رسد، ولی در بارگذاری GEs کمانشی رخ نداده است.

تغییرمکان بیشینه‌ی گرهی بحرانی مدل 30×20 در زلزله طبس در بارگذاری GEs نسبت به بارگذاری GD، ۹۴٪ و در بارگذاری GE نسبت به بارگذاری GD، ۹۳٪ کاهش یافته است و این کاهش تغییرمکان در مدل 46×30 برای بارگذاری GEs نسبت به بارگذاری GD و بارگذاری GE نسبت به بارگذاری GD، به ترتیب برابر ۴۴٪ و ۱۲٪ و برای مدل 54×36 به ترتیب برابر ۶۵٪ و ۹۰٪ بوده است.

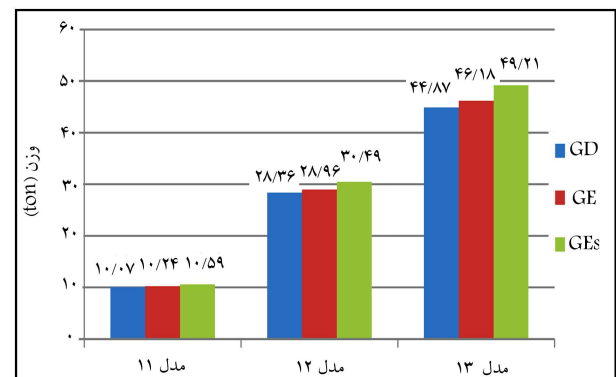
همچنین تنش محوری عضو بحرانی مدل 20×20 در زلزله طبس در بارگذاری GEs نسبت به بارگذاری GD ۴۱٪ و در بارگذاری GE نسبت به بارگذاری GD، ۳۳٪ کاهش یافته و این کاهش تنش محوری در مدل 46×46 در بارگذاری GEs نسبت به بارگذاری GD و بارگذاری GE نسبت به بارگذاری GD، به ترتیب برابر ۴۵٪ و ۸٪ برای مدل 54×36 به ترتیب برابر ۲۱٪ و ۸٪ بوده است.

در مدل‌های 30×20 و 54×36 تحت بارگذاری GE و GEs کمانشی رخ نداده است، ولی در بارگذاری GD چار کمانش شده‌اند.

تغییرمکان بیشینه‌ی گرهی بحرانی مدل 30×20 در زلزله سن فراناندو در بارگذاری GEs نسبت به بارگذاری GD، ۳۹٪ و در بارگذاری GE نسبت به بارگذاری GD، ۲۹٪ کاهش یافته و این کاهش تغییرمکان در مدل 46×30 برای بارگذاری GEs نسبت به بارگذاری GD و بارگذاری GE نسبت به بارگذاری GD، به ترتیب برابر ۴۸٪ و ۱۲٪ و برای مدل 54×36 به ترتیب برابر ۶۸٪ و ۲۵٪ بوده است.

همچنین تنش محوری عضو بحرانی مدل 30×20 در زلزله سن فراناندو در بارگذاری GEs نسبت به بارگذاری GD، ۴۶٪ و در بارگذاری GE نسبت به بارگذاری GD، ۳۵٪ کاهش یافته و این کاهش تنش محوری در مدل 46×30 برای بارگذاری GEs نسبت به بارگذاری GD و بارگذاری GE نسبت به بارگذاری GD، به ترتیب برابر ۴۸٪ و ۸٪ و برای مدل 54×36 به ترتیب برابر ۳۷٪ و ۱۳٪ بوده است.

زمان اولین کمانش مدل 54×36 در بارگذاری GE نسبت به GD افزایش یافته است و بیان‌گر این مطلب است که در بارگذاری GE دیرتر به کمانش می‌رسد، ولی در بارگذاری GEs کمانشی رخ نداده است.



شکل ۱۴. نمودار مربوط به مقایسه‌ی وزن کل سازه در حالت‌های مختلف بارگذاری.

جدول ۴. مقایسه‌ی وزن مدل‌ها تحت بارگذاری‌های GE و GD و GEs.

WGES / WGD (%)	WGES / WGE (%)	WGE / WGD (%)	مدل
5,16	۳,۴۱	۱,۶۸	۱
۷,۵۱	۵,۲۸	۲,۱۱	۲
۹,۶۷	۶,۵۶	۲,۹۱	۳

سپس آنالیزهای استاتیکی لازم در محیط SAP برای حصول مقاطع بهینه صورت گرفته است. مقایسه‌ی بین وزن کل سازه در ۳ حالت بارگذاری صورت گرفته است، که در شکل ۱۴ به آن پرداخته شده است.

همان‌طور که مشاهده می‌شود، در هر سه مدل: (مدل ۱: 30×20)، (مدل ۲: 30×36)، (مدل ۳: 54×36)، وزن مدل‌های GEs بیشتر از مدل‌های GE، همچنین وزن مدل‌های GE بیشتر از GD است و با افزایش ابعاد مدل‌ها، این نسبت افزایش بیشتر شده است. حال اگر مقایسه‌ی بین نسبت افزایش وزن مدل‌ها تحت سه حالت بارگذاری انجام شود، نتایج جدول ۴ حاصل می‌شود.

همان‌طور که مشاهده می‌شود، بیشترین نسبت افزایش وزن در بارگذاری GEs مربوط به مدل ۳ بوده و کمتر از ۱۰٪ است. همچنین بیشترین نسبت افزایش وزن در بارگذاری GE به مدل ۳ بوده و تقریباً ۳٪ است. سپس مدل‌های ذکرشده در نرم‌افزار ANSYS تحت ۳ شبتاب نگاشت نورث ریج، طبس، و سن فراناندو تحلیل دینامیکی غیرخطی شده‌اند و رفتار مصالح پس از کمانش، برای لاغری ۱۰۰٪ از طبق رابطه‌ی ۲۴، که در سال ۱۹۹۵ ارائه شده است، محاسبه شده است.

$$\left(\frac{\sigma}{\sigma_y} \right)^2 + 2,476 \left(\frac{\sigma}{\sigma_y} \right) - 11,62 \left(\frac{\varepsilon}{\varepsilon_y} \right) \left(\frac{\sigma}{\sigma_y} \right) + 2,10 \left(\frac{\varepsilon}{\varepsilon_y} \right) = 0,9241 \left(\frac{\varepsilon}{\varepsilon_y} \right)^2 + 1,189 = 0 \quad (24)$$

تحلیل‌های دینامیکی غیرخطی روی مدل‌های 30×30 ، 46×20 ، 54×36 ، 30×54 و 36×54 انجام شده و نتایج حاصل در جدول‌های ۵ الی ۷ با عنوانی تنش محوری المان بحرانی، تغییرمکان گرهی بحرانی، و زمان اولین کمانش در ۳ حالت بارگذاری GE و GEs ارائه شده‌اند.

تغییرمکان بیشینه‌ی گرهی بحرانی مدل 30×20 در زلزله نورث ریج در بارگذاری GEs نسبت به بارگذاری GD، ۴۱٪ و در بارگذاری GE نسبت به بارگذاری GD، ۲۷٪ کاهش یافته و این کاهش تنش محوری در مدل 46×30 برای

الف) تغییرمکان در جهت قائم (U_z) برای مدل‌های با شرایط طراحی GEs کمتر از GE و همچنین تغییرمکان مدل‌های با شرایط طراحی GE کمتر از GD است.

۱۲. نتیجه‌گیری

(الف) تغییرمکان در جهت قائم (U_z) برای مدل‌های با شرایط طراحی GEs کمتر از GE و همچنین تغییرمکان مدل‌های با شرایط طراحی GE کمتر از GD است.

جدول ۵. نتایج تحلیل دینامیکی غیرخطی (زلزله‌ی نورث‌ریچ).

زمان اولین کمانش (s)	عضو بحرانی	گرده بحرانی	بیشینه تنش محوری (N/m ²)	Uz max (m)	ACC	مدل
۲,۳۶	۷۵	۷۲	۱,۷۴۳ e ^۸	۰,۰۶۹۸	GD۲۰ × ۳۰	
۲,۷۲	۳۸۹	۸۳	۱,۴۸۴ e ^۸	۰,۰۵۰۸	GE۲۰ × ۳۰	
—	۷۵	۹۴	۱,۲۳۴ e ^۸	۰,۰۴۰۸	GES۲۰ × ۳۰	
—	۱۷۳	۵۵۷	۱,۲۱۸ e ^۸	۰,۰۶۱۷	GD۳۰ × ۴۶	
—	۱۷۳	۵۵۷	۱,۰۶۲ e ^۸	۰,۰۵۱۸	نورث‌ریچ	GE۳۰ × ۴۶
—	۱۷۳	۵۵۷	۹,۰ ۲۳ e ^۷	۰,۰۴۶۷	GES۳۰ × ۴۶	
—	۲۴۳	۲۵۷	۹,۵۲۸ e ^۷	۰,۰۵۹۵	GD۳۶ × ۵۴	
—	۲۴۳	۲۵۷	۸,۰ ۳۰ e ^۷	۰,۰۵۶۲	GE۳۶ × ۵۴	
—	۲۴۳	۲۵۷	۷,۳۱۱ e ^۷	۰,۰۵۲۱	GES۳۶ × ۵۴	

جدول ۶. نتایج تحلیل دینامیکی غیرخطی (زلزله‌ی طبس).

زمان اولین کمانش (s)	عضو بحرانی	گرده بحرانی	بیشینه تنش محوری (N/m ²)	Uz max (m)	ACC	مدل
۴,۵۴	۸۶	۲۵۲	۱,۸۵۶ e ^۸	۰,۶۳۳۸	GD۲۰ × ۳۰	
—	۷۵	۸۳	۱,۲۳۲ e ^۸	۰,۰۳۹۳	GE۲۰ × ۳۰	
—	۷۵	۸۳	۱,۰ ۸۲ e ^۸	۰,۰۳۵۷	GES۲۰ × ۳۰	
—	۱۷۳	۵۵۷	۱,۴۳۱ e ^۸	۰,۰۷۲۹	GD۳۰ × ۴۶	
—	۱۷۳	۵۵۷	۱,۳۱۶ e ^۸	۰,۰۶۴۴	طبس	GE۳۰ × ۴۶
—	۱۷۳	۵۵۷	۷,۸۳۴ e ^۷	۰,۰۴۰۶	GES۳۰ × ۴۶	
۴,۸۶	۱۹۰	۲۷۶	۱,۴۳۰ e ^۸	۰,۲۳۰۷	GD۳۶ × ۵۴	
—	۲۴۳	۲۵۷	۱,۳۰۸ e ^۸	۰,۰۹۱۲	GE۳۶ × ۵۴	
—	۲۴۳	۲۵۷	۱,۱۲۴ e ^۸	۰,۰۸۰۲	GES۳۶ × ۵۴	

جدول ۷. نتایج تحلیل دینامیکی غیرخطی (زلزله‌ی سن فرناندو).

زمان اولین کمانش (s)	عضو بحرانی	گرده بحرانی	بیشینه تنش محوری (N/m ²)	Uz max (m)	ACC	مدل
—	۷۵	۸۳	۷,۲۵۶ e ^۷	۰,۰۲۱۱	GD۲۰ × ۳۰	
—	۷۵	۸۳	۴,۷۶۴ e ^۷	۰,۰۱۴۹	GE۲۰ × ۳۰	
—	۷۵	۸۳	۳,۹۱۰ e ^۷	۰,۰۱۲۸	GES۲۰ × ۳۰	
—	۱۷۳	۵۵۷	۱,۳۱۲ e ^۸	۰,۰۶۹۰	GD۳۰ × ۴۶	
—	۱۷۳	۵۵۷	۱,۲۱۴ e ^۸	۰,۰۶۱۱	سن فرناندو	GE۳۰ × ۴۶
—	۱۷۳	۵۵۷	۶,۷۶۰ e ^۷	۰,۰۳۵۶	GES۳۰ × ۴۶	
۶,۱۵	۳۷۲	۲۷۶	۱,۵۸۱ e ^۸	۰,۲۳۲۶	GD۳۶ × ۵۴	
۶,۱۸	۲۴۴	۲۵۷	۱,۳۶۸ e ^۸	۰,۱۷۵۵	GE۳۶ × ۵۴	
—	۲۶۲	۲۷۶	۹,۹۶۵ e ^۷	۰,۰۷۳۲	GES۳۶ × ۵۴	

د) نسبت وزن مدل‌های GE به GD با افزایش ابعاد مدل‌ها، افزایش یافته و بیشترین نسبت افزایش وزن مدل GE به GD مربوط به مدل ۳ با ابعاد 54×36 بوده است، که کمتر از ۳٪ است و با توجه به این مطلب انتظار می‌رفت در مدل‌های GE مورد بررسی نیز کمانش رخ دهد.

ه) نسبت وزن مدل‌های GEs به GD با افزایش ابعاد مدل‌ها افزایش می‌یابد و بیشترین نسبت افزایش وزن مدل GEs به GD مربوط به مدل ۳ بوده است، که کمتر از ۱۰٪ است. با توجه به اینکه این نسبت افزایش وزن چشمگیر نیست، با این حال در مدل‌های GEs مورد بررسی هیچ‌گونه کمانشی رخ نداده است.

ب) تنش محوری عضو بحرانی برای مدل‌های با شرایط طراحی GEs کمتر از GE و همچنین تنش محوری عضو بحرانی مدل‌های با شرایط طراحی GE کمتر از GD است.

ج) در محدوده‌ی تحلیل‌های انجام شده مشاهده شده است در چند مورد در مدل‌های GE، که با رزولوشن طبق آئین‌نامه‌ی چین در طراحی آنها در نظر گرفته شده بود، کمانش رخ داده است؛ ولی زمان اولین عضو کمانش‌کرده برای حالت طراحی کمتر از مدل‌های GE است، به عبارتی مدل‌های GD زودتر به کمانش رسیده‌اند و در مدل‌های GEs هیچ‌گونه کمانشی رخ نداده است.

منابع (References)

- Kawaguchi, K. "A report on large roof structures damaged by the great Hanshin-Awaji earthquake", *Int. J. of Space Structures*, **12**(3/4), pp. 135-148 (1997).
- Kawaguchi, K. and Hangai, Y. "Report on spatial structures damaged by the 1995 great Hanshin earthquake", *Bull. ERS*, **28**, pp. 69-78 (1995).
- Kuneida, H., Manda, T. and Kitamura, K. "Vibrational characteristics of really existing cylindrical roof structures", *6th Asian Pacific Conference on Shell and Spatial Structures*, Seoul, Korea (16-18 October 2000).
- Lan, T. and Qian, R. "Analysis of the failure of a space truss subjected to earthquake", *Proc. of Asia-Pacific Conf. On Shell and Spatial Structures*, Beijing, China (1996).
- Ishikawa, K. and Kato, S. "Dynamic buckling behaviour of single and double layer latticed domes due to vertical earthquake motions", Park, G.A.R. ed., *Space Structures 4, Proceedings of the Fourth International Conference of Space Structures*, **1**, Thomas Telford, pp. 466-475 (1993).
- Sadeghi, A. "Horizontal earthquake loading and linear/nonlinear seismic behaviour of double layer barrel vaults", *International Journal of Space Structures*, **19**(1), pp. 21-37 (2004).
- Sadeghi, A. "Vertical effects of earthquakes on the double layer barrel vaults", *J. of Space Structures*, **19**(2), pp. 21-37 (2004).
- Sadeghi, A. "Assessment of earthquake effects on space structures", *Second National Conference on Space Structures*, Terharn, Iran (in Persian) (22-23 May 2007).
- Salajegheh, A. and Salajegheh, E. "Dynamic behavior of double layer domes under horizontal and vertical components of earthquakes", *Second National Conference on Retrofitting*, Kerman, Iran (2007).
- Specifications for the Design and Construction of Trusses Space*, Construction Engineering Standards, Standard Number JGJ 7-1991, 73 p. (2001).
- Saka, T. and Taniguchi, Y. "Damage to spatial structures by the 1995 Hyogoken-Nanbu earthquake in Japan", *International Journal of Space Structures*, **126**(3&4), pp.125-133 (1997).